

**ЭКСПЕРИМЕНТАЛЬНОЕ ИССЛЕДОВАНИЕ ЗАКОНОМЕРНОСТЕЙ
РАСПРОСТРАНЕНИЯ НЕДОРАСШИРЕННОЙ СТРУИ ВО ВСТРЕЧНОМ
ДОЗВУКОВОМ ПОТОКЕ**

КАРПМАН И. М.

Получены поля полных давлений и скоростей вдоль оси струи, истекающей в дозвуковой встречный поток из одиночного конического сопла с углом полураствора $\theta_a=10^\circ$. Сопло располагалось в вершине конуса с полууглом при вершине $\theta=75^\circ$ и отношением радиусов миделя конуса и сопла, равным 10.

Установлено, что для недорасширенной струи в до- и сверхзвуковых встречающих потоках основной критерий подобия, обобщающий данные по распределению газодинамических параметров в струе при различных степенях нерасчетности n , числах Маха встречного потока M_∞ и струи M_a , это отношение плотности потока импульса струи J_a к скоростному напору q_∞ : $J=J_a/q_\infty$. Получены обобщающие зависимости для распределения полного давления и скорости вдоль оси струи, а также для дальности струи.

Диапазон исследованных параметров следующий: $M_a=2,9$; $M_\infty=0,35-0,9$; $n=p_a/p_\infty=1,5-25$. Здесь p_a и p_∞ – статические давления на срезе сопла и в потоке. Характерные числа Рейнольдса, определенные по параметрам в слое смещения недорасширенной струи, максимальной скорости истечения струи и расстоянию до центрального скачка в начальном участке [1], $Re_L=(0,3-7,4)\cdot 10^3$. Эти числа Рейнольдса соответствуют ламинарному и переходному режиму течения в начальном участке и турбулентному – в основном. Рабочее тело струи и потока – воздух. Соответственно отношения температур торможения $T_{0a}/T_{0\infty}\approx 1$.

Течение в недорасширенной струе, истекающей во встречный дозвуковой поток, схематически разделяют на начальный, переходный и основной участки. Начальный участок по существу ничем не отличается от начального участка струи, истекающей в затопленное пространство, причем, как показали настоящие эксперименты, характерные размеры струй в обоих случаях практически совпадают. В начальном участке существенную роль играют ударно-волновые процессы, а вязкость проявляется в основном на границе струи. В переходном участке ударно-волновые и вязкие процессы играют одинаково важную роль. В основном участке течение целиком определяется вязкими процессами и струю можно рассматривать как изобарическую.

Наиболее изучен в литературе [2–4] случай распространения турбулентной изобарической струи малой скорости во встречном несжимаемом дозвуковом потоке. Вопрос взаимодействия недорасширенной струи со встречным сжимаемым дозвуковым потоком в литературе практически не изучен.

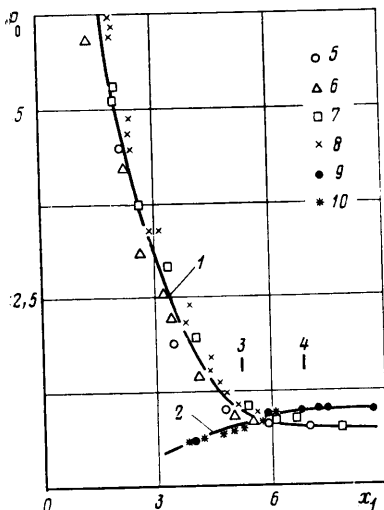
Определим дальность струи L_0 как расстояние от среза сопла до точки, где скорость на оси струи $u_m=0$. В экспериментах эта точка определялась по показаниям насадки полного напора, направленного навстречу потоку: если замеренное давление $p_1=p_\infty$, то эта область течения соответствует внешнему встречному течению, если же $p_1 < p_\infty$, течение соответствует струйному. Здесь p_∞ – полное давление в потоке.

Пусть также L_m – расстояние от среза сопла до точки, где скорость на оси струи равна по модулю скорости встречного потока. В этой точке давление p_2 , замеренное насадкой, направленным навстречу струе, равно p_∞ . Следует отметить, что точность определения величины L_m выше, чем L_0 .

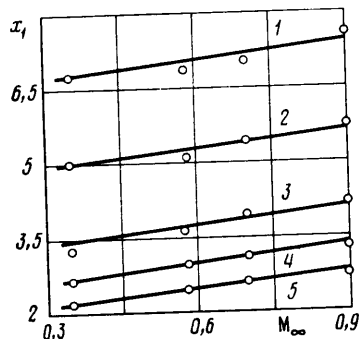
На фиг. 1 для числа $M_\infty=0,58$ представлена зависимость относительного полного давления $P_0=p_0/p_\infty$ в основном участке струи от продольной координаты, представленной в виде комплекса $x_1=x/r_a\sqrt{J}$. Здесь x – расстояние вдоль оси струи, отсчитываемое от среза сопла, r_a – радиус сопла, J – безразмерная плотность потока импульса струи, равная отношению J_a/q_∞ , где $J_a=p_a(1+\gamma_a M_a^2)$ – плотность потока импульса струи, q_∞ – скоростной напор встречного потока, а γ_a в выражении для J_a – показатель адиабаты струи. При сверхзвуковой скорости на оси струи давление p_0 соответствует полному давлению за прямым скачком, при дозвуковой – полному давлению струи в рассматриваемой точке. Цифрой 1 обозначена осредненная экспериментальная кривая, полученная по измерениям с помощью насадки 1, направленной навстречу струе, а цифрой 2 – с помощью насадка 2, направленного навстречу потоку. Значения параметра J и степени нерасчетности n , при которых проводился эксперимент, приведены ниже:

J	85	141	325	650
n	1,5	3	6	12
Насадок	1	1	1; 2	1; 2
Обозначения	5	6	7; 9	8; 10

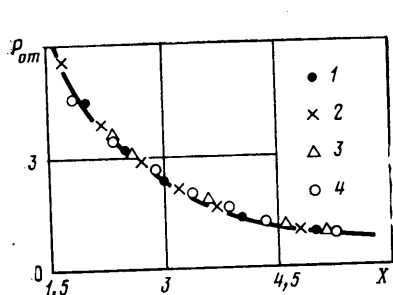
Представленные данные для различных значений параметра J или степени нерасчетности n укладываются на единую зависимость. Аналогичные результаты были



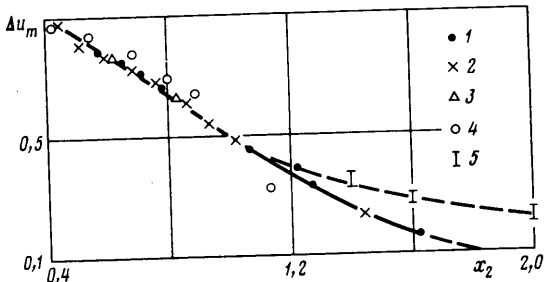
Фиг. 1



Фиг. 2



Фиг. 3



Фиг. 4

получены при $M_{\infty}=0,35; 0,7; 0,9$ в диапазоне значений $J=45-800$, причем осредненные экспериментальные кривые относительного полного давления $P_{0m}=p_{0m}/p_{\infty}$, полученные по измерениям с помощью насадка 1, в принятой обработке по параметру x_1 оказываются стянутыми в узкий пучок. Так, расстояние L_m до точки, где $P_{0m}=1$, изменяется всего на $\sim 15\%$ при изменении числа M_{∞} от 0,35 до 0,9.

Эксперименты также показывают, что в исследованном диапазоне $M_{\infty}=0,35-0,9$ отношение L_0/L_m составляет величину $\sim 1,3$ (на фиг. 1 координаты точек L_m и L_0 обозначены цифрами 3 и 4).

На фиг. 2 в зависимости от числа M_{∞} даны координаты точек на оси, в которых скорость U_m равна нулю (зависимость (1)) и скорости встречного потока U_{∞} (зависимость (2)), а отношение давлений $P_0=1$. Кроме того, даны координаты точек, в которых $P_0=2; 3$ и 4 (соответственно зависимости (3)-(5)).

Как видно из представленных данных, координаты x_1 характерных точек имеют слабую линейную зависимость от числа M_{∞} . Расстояние до критической точки L_0 и расстояние L_m равны

$$\frac{L_0}{r_a \sqrt{J}} = 6,75 + 1,2(M_{\infty} - 0,35) \quad (1)$$

$$\frac{L_m}{r_a \sqrt{J}} = 5 + 1,2(M_{\infty} - 0,35) \quad (2)$$

На фиг. 3 представлено автомодельное по числу M_{∞} распределение полного давления P_{0m} вдоль оси струи в зависимости от обобщенной координаты $X=x^{\circ}-1,2(M_{\infty}-0,35)$. Здесь $x^{\circ}=x_{M_{\infty}}/r_a \sqrt{J}$ — относительная координата вдоль оси струи. Индекс M_{∞} означает то число M_{∞} , при котором определяется давление на оси. Цифрами 1-4 обозначены соответственно данные для $M_{\infty}=0,35; 0,58; 0,7$ и $0,9$. Зависимость на фиг. 3 может быть аппроксимирована формулой

$$P_{0m}=13,1/X^{1,6} \quad (X \geq 1,5) \quad (3)$$

Таким образом, универсальная кривая на фиг. 3 или зависимость (3) позволяют определять значения P_{0m} вдоль оси струи в широком диапазоне параметров $J > 85$, ($n > 1,5$) и $M_\infty \approx 0,35 - 0,9$.

Рассмотрим результаты экспериментов, представленные в виде избыточных полей скоростей вдоль оси струи

$$\Delta u_m = \frac{u_m/u_a - u_\infty/u_a}{1 - u_\infty/u_a}$$

Здесь u_a — скорость газа на срезе сопла, отношение u_∞/u_a имеет отрицательный знак. Значения u_m/u_a определялись по известным полям давлений P_{0m} в предположении изобаричности течения. На фиг. 4 представлено изменение скорости Δu_m вдоль оси струи в зависимости от относительной координаты $x_2 = x/x_{0,5}$, где $x_{0,5}$ — расстояние от среза сопла до точки со значением $\Delta u_m = 0,5$. При такой обработке данные для различных чисел M_∞ (обозначения те же, что и на фиг. 3) укладываются на единую кривую. На фиг. 4 представлены также данные (обозначены цифрой 5) для дозвуковых струй малой скорости [3, 4]. На основании экспериментальных данных для $M_\infty = 0,35; 0,58; 0,7; 0,9$ зависимость расстояния $x_{0,5}$ от числа M_∞ при $T_{0a}/T_{0\infty} \approx 1$ может быть выражена формулой

$$\frac{x_{0,5}}{r_a \sqrt{J}} = 4 + 5 (M_\infty - 0,35) \quad (4)$$

Для сверхзвуковых недорасширенных струй во встречном сверхзвуковом потоке с числами $M_\infty > 2,5$ в режиме взаимодействия с одной «бочкой» определяющий параметр подобия — это отношение плотности потока импульса струи к полному давлению за прямым скачком: $J_a/r_{0\infty}'$ [5]. Этот параметр моделирует степень нерасчетности струи, числа Маха и показатели адиабат струи и потока. В той же работе полагалось, что при переходе от сверх- к дозвуковому потоку параметр $J_a/r_{0\infty}'$, трансформируется в $J_a/r_{0\infty}$, где $r_{0\infty}$ — полное давление встречного потока. Однако полученные в настоящей работе результаты показали, что основным параметром, моделирующим течение в недорасширенной струе во встречном дозвуковом потоке, является отношение $J = J_a/q_\infty$. Поскольку при числах $M_\infty \geq 2,5$ величина $r_{0\infty}' \approx q_\infty$, то единый параметр, моделирующий течение при сверх- и дозвуковых числах M_∞ , имеет вид J_a/q_∞ .

Таким образом, из анализа полей давлений и скоростей вдоль оси недорасширенной струи во встречном дозвуковом потоке следует, что основным параметром подобия при различных степенях нерасчетности n , числах M_∞ и M_a является отношение плотности потока импульса струи к скоростному напору потока $J = J_a/q_\infty$, а кривые давления $P_{0m} = f(x_1)$ и скорости $\Delta u_m = f(x_2)$ носят универсальный характер.

ЛИТЕРАТУРА

1. Аедуевский В. С., Иванов А. В., Карпман И. М., Трасковский В. Д., Юделович М. Я. Влияние вязкости на течение в начальном участке сильно недорасширенной струи. — Докл. АН СССР, 1971, т. 197, № 1, с. 46—49.
2. Секундов А. Н. Распространение турбулентной струи во встречном потоке. — В сб.: Исследование турбулентных струй воздуха, плазмы и реального газа. М.: 1967, с. 131—143.
3. Гиневский А. С. Турбулентные неизотермические струйные течения сжимаемого газа. — В сб.: Промышленная аэродинамика. Вып. 23. М.: Оборонгиз, 1962, с. 11—65.
4. Гиневский А. С. Теория турбулентных струй и следов. М.: Машиностроение, 1969, 397 с.
5. Карпман И. М. Истечение недорасширенной струи во встречный сверхзвуковой и дозвуковой поток. — Изв. АН СССР. МЖГ, 1977, № 1, с. 89—96.

Москва

Поступила в редакцию
3.VI.1985